

同顺序 $M \times N$ 排序问题的动态规划方法

大数据学院 和泳毅 PB19010450

排序论 (Scheduling Theory) 是组合最优化理论中一个应用十分广泛的领域，而同顺序 $m \times n$ 排序问题则是众多的排序模型中一个成果较多的模型。1954年，S. M. Johnson^[1]给出 $m = 2$ 情形的解法，之后许多作者试图把Johnson算法推广到 $m \geq 3$ 的情形。但1976年Garey等人证明了 $m \geq 3$ 情形是一个NP-C问题，这样找到一个解决该问题的好算法是难以实现的。近年来， $m \geq 3$ 的 $m \times n$ 排序问题的研究，主要在如下几个方面：

1. 确定相邻零件的次序
2. 优先与消去准则
3. 分支定界算法
4. 特殊算法和近似算法

本文将在Johnson条件与分支定界算法的基础上，结合快速的动态规划的方法求解该问题。

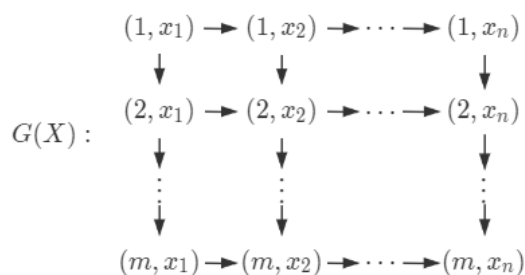
一、问题描述

在排序问题中，服务机构或作业设施统称为“机器”，而被服务的顾客或工程建设任务统称为“零件”。同顺序 $m \times n$ 排序问题是考虑如下的“流水作业系统”： n 个零件 J_1, J_2, \dots, J_n 在 m 台机器 M_1, M_2, \dots, M_m 上加工，要求每个零件皆依同一顺序（约定为 M_1, M_2, \dots, M_m 的顺序）通过 m 台机器，每台机器也依同一顺序（待求的零件顺序 X ）加工 n 个零件，并且每台机器一次只能加工一个零件。已知每个零件在各机器上的加工时间，需要确定一个零件加工顺序 X ，使得总工时 $T(X)$ （从 M_1 开工到 M_m 完工的时间）为最小。

定义1 设 a_{ij} 为机器 M_i 加工零件 J_j 的加工时间，设 $X = (x_1, x_2, \dots, x_n)$ 为零件下标 $1, 2, \dots, n$ 的一个全排列，则序列 X 称为一个可行加工顺序。对于给定可行加工顺序 X ，可以将 a_{ix_j} 排成 $m \times n$ 的工时矩阵 $A(X)$ ：

$$A(X) = \begin{pmatrix} a_{1x_1} & a_{1x_2} & \cdots & a_{1x_n} \\ a_{2x_1} & a_{2x_2} & \cdots & a_{2x_n} \\ \vdots & \vdots & & \vdots \\ a_{mx_1} & a_{mx_2} & \cdots & a_{mx_n} \end{pmatrix}.$$

定义2 将按照 X 进行加工作业的工序流程图记为 $G(X)$ ，如下图所示，其中顶点 (i, x_j) 表示机器 M_i 加工零件 J_{x_j} 的工序，工时 a_{ix_j} 是该顶点的权值。



定义3 设工序 (i, x_j) 的最早完工时刻为 $f(i, x_j)$ ，并约定

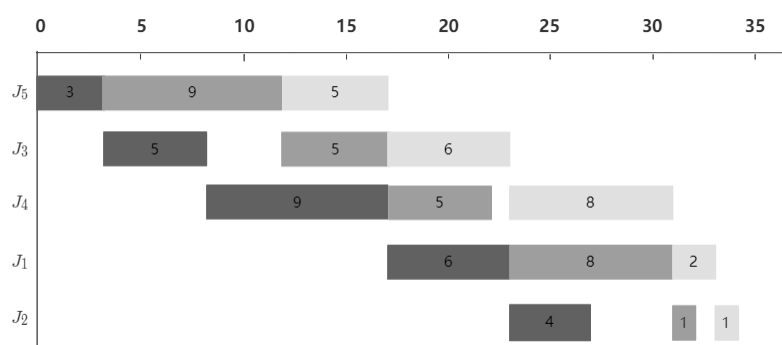
$$f(0, x_j) = f(i, x_0) = 0. \quad (1)$$

综上，所谓同顺序 $m \times n$ 排序问题，就是寻求一个加工顺序 X ，使总工时 $T(X) = f(m, x_n)$ 为最小。

例子

	J_1	J_2	J_3	J_4	J_5
M_1	6	4	5	9	3
M_2	8	1	5	5	9
M_3	2	1	6	8	5

给定以上零件及对应加工时间，最优总工时为34，最优加工顺序为 J_5, J_3, J_4, J_1, J_2 。即



二、算法原理

(一) 基本方程与基本定理

方程1 机器 M_i 在加工零件 J_{x_j} 之前，必须先加工完零件 $J_{x_{j-1}}$ ，并且要等到机器 M_{i-1} 加工完零件 J_{x_j} ，故有

$$f(i, x_j) = \max\{f(i, x_{j-1}), f(i-1, x_j)\} + a_{ix_j}. \quad (2)$$

求解最早完工时刻具有最优子结构，初始条件(1)与递推式(2)也是求有向无环图 $G(X)$ 最长路径的动态规划基本方程，可以采用动态规划方法自底向上地求解总工时 $T(X) = f(m, x_n)$ 。

Sum Time

输入：工时矩阵 A 与加工顺序 X 。

(0) 初始化 $m \times n$ 的矩阵 f ，令 $f(0, x_j) = f(i, x_0) = 0$ 。 $i := 1$ 。

(1) $j := 1$ 。若 $i > m$ ，则迭代结束。

(2) 计算 $f(i, x_j) = \max\{f(i, x_{j-1}), f(i-1, x_j)\} + a_{ix_j}$ 。

(3) $j := j + 1$ ，若 $j > m$ ，则 $i := i + 1$ ，回到步骤(1)。否则回到步骤(2)。

输出：最早完工时间 $f(m, x_n)$ 。

以下进一步说明递推式(2)与有向无环图 $G(X)$ 的关系。

定义4 将有向无环图 $G(X)$ 中任何一条从 $(1, x_1)$ 到 (m, x_n) 的路径称为对应于 X 的可行线。设 l 为一条对应于 X 的可行线，则称 $\sum_{(i,j) \in l} a_{ij}$ 为对应于 l 的可行和。

引理^[3] 设 X 为一加工顺序，则总加工时间为 $T(X)$ 等于有向无环图 $G(X)$ 的最大可行和：

$$T(X) = \max_l \sum_{(i,j) \in l} a_{ij}. \quad (3)$$

证：先证 $m = 2$ 的情况。工时矩阵 $A(X)$ 只有两行，对应到 $G(X)$ 中显然有

$$\max_l \sum_{(i,j) \in l} a_{ij} = \max_{1 \leq s \leq n} \left\{ \sum_{j=1}^s a_{1x_j} + \sum_{j=s}^n a_{2x_j} \right\}.$$

当 $n = 1$ 时，总加工时间是 $a_{11} + a_{21}$ ，该式成立。假设(3)式对 n 成立，下证(3)式对 $n + 1$ 成立。零件 $J_{x_{n+1}}$ 在 M_2 上经历的过程只有两种：

(1) $J_{x_{n+1}}$ 在 M_2 上不需要等待，此时有

$$\begin{aligned} T(x_1, \dots, x_{n+1}) &= \sum_{j=1}^{n+1} a_{1x_j} + a_{2x_{n+1}} \\ &\geq T(x_1, \dots, x_n) + a_{2x_{n+1}}, \end{aligned}$$

故有

$$T(x_1, \dots, x_{n+1}) = \max \left\{ T(x_1, \dots, x_n) + a_{2x_{n+1}}, \sum_{j=1}^{n+1} a_{1x_j} + a_{2x_{n+1}} \right\}.$$

(2) $J_{x_{n+1}}$ 在 M_2 上需要等待, 此时有

$$\begin{aligned} T(x_1, \dots, x_{n+1}) &= T(x_1, \dots, x_n) + a_{2x_{n+1}} \\ &\geq \sum_{j=1}^{n+1} a_{1x_j} + a_{2x_{n+1}}, \end{aligned}$$

同样可以得到

$$T(x_1, \dots, x_{n+1}) = \max \left\{ T(x_1, \dots, x_n) + a_{2x_{n+1}}, \sum_{j=1}^{n+1} a_{1x_j} + a_{2x_{n+1}} \right\}.$$

由归纳法, 即得

$$T(x_1, \dots, x_{n+1}) = \max_{1 \leq s \leq n} \left\{ \sum_{j=1}^s a_{1x_j} + \sum_{j=s}^{n+1} a_{2x_j}, \sum_{j=1}^{n+1} a_{1x_j} + a_{2x_{n+1}} \right\}.$$

故当 $m = 2$ 时, 引理得证。

再对 m 做归纳, 假设 (3) 式对 m 成立。记 J_{x_j} 在机器 M_m 上的加工完毕时刻为 T_j , 有 $T_1 < T_2 < \dots < T_n$ 。 $T_j - T_{j-1}$ 为 J_{x_j} 在 M_m 上的加工时间, 有

$$T(x_1, \dots, x_{n+1}) = \max_{1 \leq s \leq n} \left\{ T_s + \sum_{j=s}^n a_{m+1x_j} \right\}.$$

由归纳假设, 有

$$T_s = \max_{l_s} \sum_{(i,j) \in l_s} a_{ij},$$

其中 l_s 是连接 a_{1x_1} 和 a_{m+1x_s} 的一可行线, 联立上两式得

$$T(x_1, \dots, x_n) = \max_{1 \leq s \leq n} \left\{ \max_{l_s} \sum_{(i,j) \in l_s} a_{ij} + \sum_{j=s}^n a_{m+1x_j} \right\}.$$

因连接 a_{1x_1} 和 a_{m+1x_s} 的任一可行线都可以表示为 $\{l_s, (m+1, x_s), \dots, (m+1, x_n)\}$ 的形式, 故上式即为 $m+1$ 个机器时的 (3) 式。引理得证。

定义 5 (1) 设 $N = \{1, 2, \dots, n\}$, 若 $\{s_1, s_2, \dots, s_k\} \in N$, 则称排列 $S = (s_1, s_2, \dots, s_k)$ 为 N 的一个部分序列。若 $S = (s_1, s_2, \dots, s_k)$ 和 $S' = (s'_1, s'_2, \dots, s'_k)$ 为两个部分序列, 且 $S \cap S' = \phi$, 则 $SS' := (s_1, s_2, \dots, s_k, s'_1, s'_2, \dots, s'_k)$ 也是一个部分序列, 称为 S 和 S' 的连接。

(2) 定义极值函数 $t_{pq}(S)$ 表示工时矩阵

$$\begin{pmatrix} a_{ps_1} & a_{ps_2} & \cdots & a_{ps_k} \\ a_{p+1s_1} & a_{p+1s_2} & \cdots & a_{p+1s_k} \\ \vdots & \vdots & & \vdots \\ a_{qs_1} & a_{qs_2} & \cdots & a_{qs_k} \end{pmatrix} \quad (1 \leq p \leq q \leq m)$$

对应流线图的最大可行和, 约定 $t_{pq}(\phi) = 0$ 。

至此可得方程1即是计算完工时刻的递推式, 也是求有向无环图 $G(X)$ 最长路径的动态规划基本方程, 并且总工时 $T(X) = t_{1m}(X)$ 。

方程2^[2] 若加工顺序 $X = SS'$, $S \cap S' = \phi$, 则

$$t_{1m}(X) = \max_{1 \leq p \leq m} \{t_{1p}(S) + t_{pm}(S')\}. \quad (4)$$

定理1^[2] 设 S, S', S'' 是任意互不相交的部分序列, $i, j \in N \setminus (S \cap S' \cap S'')$ 。

(1) 若

$$t_{1p}(Sij) \leq t_{1p}(Sji), \quad 1 \leq p \leq m, \quad (5)$$

则 $T(SijS') \leq T(SjiS')$ 。

(2) 若

$$t_{1p}(Sij) \leq t_{1p}(Sj) + \min_{p \leq q \leq m} a_{qi}, \quad 1 \leq p \leq m, \quad (6)$$

则 $T(SijS'S'') \leq T(SjS'iS'')$ 。

(3) 若

$$t_{1p}(Si) \leq t_{1p}(Sj) + \min_{p \leq q \leq r \leq m} \{t_{qr}(i) - t_{qr}(j)\}, \quad 1 \leq p \leq m, \quad (7)$$

则 $T(SiS'jS'') \leq T(SjS'iS'')$ 。

证: (1) 由方程2与条件(5)得

$$t_{1m}(SijS') = \max_{1 \leq p \leq m} \{t_{1p}(Sij) + t_{pm}(S')\} \leq \max_{1 \leq p \leq m} \{t_{1p}(Sji) + t_{pm}(S')\} = t_{1m}(SjiS')$$

(2) 由方程2与条件(6)得

$$\begin{aligned} t_{1m}(SijS'S'') &= \max_{1 \leq p \leq m} \{t_{1p}(Sij) + t_{pm}(S'S'')\} \\ &\leq \max_{1 \leq p \leq m} \{t_{1p}(Sj) + \min_{p \leq q \leq m} a_{qi} + t_{pm}(S'S'')\} \\ &\leq \max_{1 \leq p \leq m} \{t_{1p}(Sj) + t_{pm}(S'iS'')\} \\ &= t_{1m}(SjS'iS'') \end{aligned}$$

(3) 由方程2和条件(7)得

$$\begin{aligned}
 t_{1m}(SiS'jS'') &= \max_{1 \leq p \leq m} \{t_{1p}(Si) + t_{pm}(S'jS'')\} \\
 &\leq \max_{1 \leq p \leq m} \{t_{1p}(Sj) + \min_{p \leq q \leq r \leq m} \{t_{qr}(i) - t_{qr}(j)\} + t_{pm}(S'jS'')\} \\
 &\leq \max_{1 \leq p \leq m} \{t_{1p}(Sj) + t_{pm}(S'jS'')\} \\
 &= t_{1m}(SjS'jS'')
 \end{aligned}$$

(二) $m = 2$ 时的常规动态规划方法

定义6 设 S 是一个部分序列, 在一般情况下, M_1 开始加工 S 中的零件时, 机器 M_2 还在加工其他零件, 要等时间 t 后才可使用。这种情况下, 完成 S 中零件所需的最短时间记为 $T(S, t)$, 流水作业调度问题的最优值为 $T(N, 0) = T(X)$ 。

定理2^[9] (最优子结构) 设 $X = (x_1, x_2, \dots, x_n)$ 是零件 $J_i, i \in N$ 的一个最优加工顺序, 则 $\hat{X} = (x_2, \dots, x_n)$ 是零件 $J_i, i \in N \setminus \{x_1\}$ 的一个最优加工顺序。

证: 把顺序 X 的加工时间分为 a_{1x_1} 和 T' 。其中 T' 是机器 M_1 和 M_2 加工 $\hat{X} = (x_2, \dots, x_n)$ 的时间。令 $S = N \setminus \{x_1\}$, 假设 \hat{X} 不是零件集 S 的最优加工顺序, 令 $X' = (x'_2, \dots, x'_n)$ 为其最优加工顺序。则机器 M_2 要等待 a_{2x_1} 的时间才能加工零件集 S , 于是最优时间为 $T(S, a_{2x_1})$ 。

并且由于 (x_1, x'_2, \dots, x'_n) 也是零件集 N 的一个加工顺序, 其时间为 $a_{1x_1} + T(S, a_{2x_1})$ 。 X' 是最优加工顺序, 则 $T(S, a_{2x_1}) \leq T'$, 故有

$$a_{1x_1} + T(S, a_{2x_1}) \leq a_{1x_1} + T'$$

这与 X 是零件集 N 的最优加工顺序矛盾, 即 \hat{X} 是零件集 S 的最优加工顺序。

方程3^[9] 由上述最优子结构性知

$$T(N, 0) = \min_{1 \leq i \leq n} \{a_{1x_i} + T(N \setminus \{x_i\}, a_{2x_i})\}$$

一般情况下:

$$T(S, t) = \min_{x_i \in S} \{a_{1x_i} + T(S \setminus \{x_i\}, a_{2x_i} + \max\{t - a_{1x_i}, 0\})\} \quad (8)$$

详细迭代过程如下:

FindMinTime

输入: 工时矩阵 A , 零件集合 S , 等待时间 t 。

(0) 如果 $S = \phi$, $T(S, t) := t$, 算法结束。

(1) 记 $\bar{S}_i = S \setminus \{x_i\}$, $x_i \in S$ 。

(2) 递归计算 $T(S, t) = \min_{i \in I(S)} \{a_{1x_i} + \mathbf{FindMinTime}(A, \bar{S}_i, a_{2x_i} + \max\{t - a_{1x_i}, 0\})\}$ 。

输出: $T(S, t)$ 。

输入: $2 \times n$ 的工时矩阵 A 。

(0) $MAXNUM = 2^n$, 自定义最大等待时间 $MAXTIME$ 。

(1) 构造零件的全组合序列 S_1, \dots, S_{MAXNUM} , 且保证序列长度非递减, $i := 1$ 。

(2) $t := 0$ 。

(3) 计算 $T(S_i, t) = \mathbf{FindMinTime}(A, S_i, t)$ 。

(4) $t := t + 1$, 如果 $t \leq MAXTIME$, 回到步骤(3); 否则 $i := i + 1$, 如果 $i \leq MAXNUM$, 回到步骤(2), 否则迭代结束。

输出: 最优总工时 $T(N, 0) = T(S_{MAXNUM}, 0)$ 。

(三) 确定相邻零件次序的方法

1. $m = 2$ 时的最优加工顺序

命题1^[1] 当 $m = 2$ 时, 设 $X = SijS'$, $X^* = SjiS'$ 。若

$$\min\{a_{1i}, a_{2j}\} \leq \min\{a_{1j}, a_{2i}\}, \quad (9)$$

则 $T(X) \leq T(X^*)$ 。

证: 由条件(9)得到

$$t_{12}(ij) = a_{1i} + \max\{a_{1j}, a_{2i}\} + a_{2j} \leq a_{1j} + \max\{a_{1i}, a_{2j}\} + a_{2i} = t_{12}(ji).$$

而 $t_{22}(ij) = t_{22}(ji)$, 故

$$t_{12}(Sij) = \max_{1 \leq p \leq 2} \{t_{1p}(S) + t_{p2}(ij)\} \leq \max_{1 \leq p \leq 2} \{t_{1p}(S) + t_{p2}(ji)\} = t_{12}(Sji).$$

又因 $t_{11}(Sij) = t_{11}(Sji)$, 所以条件(5)成立, 从而 $T(X) \leq T(X^*)$ 。

若从动态规划方程角度考虑, 设 $X = (i, j, \dots)$ 是部分零件集 S 在机器 M_2 等待时间为 t 时的任一最优加工顺序, 由方程3得到

$$T(S, t) = a_{1i} + T(S \setminus \{i\}, a_{2i} + \max\{t - a_{1i}, 0\}) = a_{1i} + a_{1j} + T(S \setminus \{i, j\}, t_{ij}),$$

其中

$$\begin{aligned} t_{ij} &= a_{2j} + \max\{a_{2i} + \max\{t - a_{1i}, 0\} - a_{1j}, 0\} \\ &= a_{2j} + a_{2i} - a_{1j} + \max\{\max\{t - a_{1i}, 0\}, a_{1j} - a_{2i}\} \\ &= a_{2j} + a_{2i} - a_{1j} + \max\{t - a_{1i}, a_{1j} - a_{2i}, 0\} \\ &= a_{2j} + a_{2i} - a_{1j} - a_{1i} + \max\{t, a_{1i} + a_{1j} - a_{2i}, a_{1i}\}. \end{aligned}$$

交换 i 和 j 的顺序后, 时间为

$$T'(S, t) = a_{1i} + a_{1j} + T(S \setminus \{i, j\}, t_{ji}),$$

其中

$$t_{ji} = a_{2j} + a_{2i} - a_{1j} - a_{1i} + \max\{t, a_{1i} + a_{1j} - a_{2j}, a_{1j}\}.$$

当 i 和 j 满足条件(9) $\min\{a_{1i}, a_{2j}\} \leq \min\{a_{1j}, a_{2i}\}$ 时, 有

$$\max\{-a_{1j}, -a_{2i}\} \leq \max\{-a_{1i}, -a_{2j}\},$$

从而

$$a_{1i} + a_{1j} + \max\{-a_{1j}, -a_{2i}\} \leq a_{1i} + a_{1j} + \max\{-a_{1i}, -a_{2j}\}.$$

由此可得

$$\max\{a_{1i}, a_{1i} + a_{1j} - a_{2i}\} \leq \max\{a_{1j}, a_{1i} + a_{1j} - a_{2j}\},$$

对任意 t 有

$$\max\{t, a_{1i}, a_{1i} + a_{1j} - a_{2i}\} \leq \max\{t, a_{1j}, a_{1i} + a_{1j} - a_{2j}\}.$$

从而 $t_{ij} \leq t_{ji}$, 即 $T(S, t) \leq T'(S, t)$ 。

由命题1可以得到如下的**Johnson**算法:

Johnson算法

输入: $2 \times n$ 的工时矩阵 A 。

(0) 初始化长度为 n 的空序列 X , $front := 1$, $back := n$ 。

(1) 在工时矩阵 A 中找到最小元素(若不唯一则任择一), 若此数位于 a_{1i} , 进入步骤(2), 若此数位于 a_{2j} , 进入步骤(3)。若所有元素都为 $+\infty$, 迭代终止。

(2) 令 $X[front] = J_i$, $front := front + 1$, 并置 $a_{1i} = a_{2i} = +\infty$ 。返回步骤(1)。

(3) 令 $X[back] = J_j$, $back := back - 1$, 并置 $a_{1j} = a_{2j} = +\infty$ 。返回步骤(1)。

输出: 最优加工顺序 X 。

并且, 从任一加工顺序出发, 按上述算法, 把每排定一个零件看作通过逐次对换相邻零件将其移至首位或末位。由命题1知每次对换时总工时不增加, 因此最后得到的加工顺序必定总工时最小。

命题2^[1] (Johnson条件) 当 $m = 2$, 设 $X = (1, 2, \dots, n)$ 。若

$$\min\{a_{1i}, a_{2j}\} \leq \min\{a_{1j}, a_{2i}\}, \quad 1 \leq i \leq j \leq n \quad (10)$$

则 X 为最优加工顺序。

证： 以满足条件(10)的加工顺序 X 作为初始顺序，执行上述**Johnson**算法重新确定一个加工顺序。由命题1. 每次对换相邻零件时总工时不变，且保持条件(10)，最后得到最优加工顺序 X_0 ，必有 $T(X) = T(X_0)$ ，即 X 也是最优加工顺序。

注意命题2作为最优解的条件是充分的，但不是必要的。

2. $m \geq 3$ 时确定相邻顺序的条件

命题3^[3] 当 $m \geq 3$ 时，设 $X = SijS'$ ， $X^* = SjiS'$ 。若

$$\min\{a_{ui}, a_{vj}\} \leq \min\{a_{uj}, a_{vi}\}, \quad 1 \leq u < v \leq m \quad (11)$$

则 $T(X) \leq T(X^*)$ 。

证： 对 $1 \leq p \leq m$ 的 p 运用方程2，得

$$\begin{aligned} t_{1p}(Sij) &= \max_{1 \leq r \leq p} \{t_{1r}(S) + t_{rp}(ij)\}, \\ t_{1p}(Sji) &= \max_{1 \leq r \leq p} \{t_{1r}(S) + t_{rp}(ji)\}. \end{aligned}$$

只要将关于 i, j 的两列矩阵转置，即可看出 $t_{rp}(ij)$ 和 $t_{rp}(ji)$ 分别是如下矩阵的最大可行和：

$$\begin{pmatrix} a_{ri} & a_{r+1i} & \cdots & a_{pi} \\ a_{rj} & a_{r+1j} & \cdots & a_{pj} \end{pmatrix}, \begin{pmatrix} a_{pi} & a_{p-1i} & \cdots & a_{ri} \\ a_{pj} & a_{p-1j} & \cdots & a_{rj} \end{pmatrix}.$$

而条件(11)说明前一矩阵的排列满足命题2（Johnson条件），后一矩阵是前者的逆排序，所以 $t_{rp}(ij) \leq t_{rp}(ji)$ 。因此， $t_{1p}(Sij) \leq t_{1p}(Sji)$ ，即条件(5)成立，从而 $T(X) \leq T(X^*)$ 。

（四）结合动态规划的分支定界算法

分支定界算法思想和技巧在运筹学中有着广泛的应用，实质上它是不明显的遍历方法，也就是把所研究的问题的全部可行解分成若干部分，在所有排列所形成的决策树中搜寻最优解，但利用估界作为剪枝准则，尽可能地多消去一些分支，可以加速计算过程。在本问题中，估计零件集 $S \cup \{i\}$ 的总工时下界需要用到零件集 S 的信息，有着类似于动态规划的子问题结构。

定义7 设 S 是一个部分序列，令 $B(S \cdots)$ 表示全部 $(S \cdots)$ 形的加工顺序对应总加工时间的下界。 S 可以是空集。

参考文献[6]，一个完整的决策树共有 n 层节点，第0层为根节点，从根节点开始分支，产生第1层的 n 个节点，每个节点对应一个第一个零件已经排好的部分序列。从第1层的一个节点分支可产生第2层 $n-1$ 个节点，每个节点对应一个两个零件已经排好的部分序列。一般地，从第 $r-1$ 层的一个节点分支可产生第 r

层 $n - r + 1$ 个节点，第 r 层的每个节点对应一个前 r 个零件已经排好的部分序列。确定各节点的下界 $B(S \cdots)$ 。由第 $n - 1$ 层的一个节点可以确定一个可行序列 \hat{X} ，其总工时 $T(\hat{X})$ 作为最优加工顺序总工时的一个上界。对下界大于 $T(\hat{X})$ 的节点进行剪枝。对下界不大于 $T(\hat{X})$ 的节点进行分支。不断改进 $T(\hat{X})$ 可以得到最优加工顺序。

下面给出文献[4]和文献[5]用动态规划方程2讨论的一种定界方法。

要估计 $B(S \cdots)$ 的值，设 $R = N \setminus S$ ，由方程2得

$$t_{1m}(SR) = \max_{1 \leq p \leq m} \{t_{1p}(S) + t_{pm}(R)\}.$$

对给定的 $p(1 \leq p \leq m)$ ，可以通过几条特殊的可行线来估计 $t_{pm}(R)$ 的下界。首先，按照工时矩阵 A 的后两行，根据 a_{m-1j} 和 a_{mj} 的值， $j \in R$ ，将 R 中的零件按照**Johnson**算法排成序列 (j_1, j_2, \cdots, j_k) 。

方程4^[4] 令

$$\begin{aligned} R_1 &= (j_1, j_2, j_3, \cdots, j_k), & R_2 &= (j_2, j_1, j_3, \cdots, j_k) \\ R_3 &= (j_3, j_1, j_2, \cdots, j_k), & \cdots, & R_k = (j_k, j_1, j_2, \cdots, j_{k-1}) \end{aligned}$$

给出方程

$$\begin{cases} b_p = t_{1p}(S) + \max\{\min_{1 \leq \alpha \leq k} \{t_{pm-2}(j_\alpha) + t_{m-1m}(R_\alpha)\}, t_{pp}(R)\}, 1 \leq p \leq m-2, \\ b_{m-1} = t_{1m-1}(S) + t_{m-1m}(R_1), \\ b_m = t_{1m}(S) + t_{mm}(R_1). \end{cases} \quad (12)$$

那么 $t_{1p}(S) + t_{pm}(R) \geq b_p (1 \leq p \leq m)$ ，从而

$$B(S \cdots) = \max_{1 \leq p \leq m} \{b_p\}$$

给出详细的估界算法：

Bound算法

输入： 工时矩阵 A ，部分序列 S ，剩余序列 R 。

(0) 初始化序列 $R_\alpha = j_\alpha(R \setminus j_\alpha)$ ， $1 \leq \alpha \leq k$ ，记 $A[i : j]$ 表示矩阵第 i 行至第 j 行构成的子矩阵。

(1) $p := 1$ 。

(2) 计算 $a_p = \min_{1 \leq \alpha \leq k} \{\text{Sum Time}(A[p : m-2], j_\alpha) + \text{Sum Time}(A[m-1 : m], R_\alpha)\}$ 。

(3) 计算 $b_p = \max\{a_p, \text{Sum Time}(A[p : p], R)\} + \text{Sum Time}(A[1 : p], S)$ 。

(4) $p := p + 1$ ，如果 $1 \leq p \leq m-2$ ，回到步骤(2)，否则进入步骤(5)。

(5) 计算 $b_{m-1} = \text{Sum Time}(A[1 : m-1], S) + \text{Sum Time}(A[m-1 : m], R_1)$ 。

(6) 计算 $b_m = \text{Sum Time}(A[1 : m], S) + \text{Sum Time}(A[m : m], R_1)$ 。

(7) 令 $B(S \cdots) := \max_{1 \leq p \leq m} \{b_p\}$ 。

输出： 估计下界 $B(S \cdots)$ 。

接下来讨论最优加工顺序总工时的一个上界 $T(\hat{X})$ 的计算，如果按照文献[6]的方法不断更新 $T(\hat{X})$ ，计算量十分大，且效率不高。因此本人考虑采用文献[8]中对该问题给出的启发式算法**WSH**法求得的近似解作为可行序列 \hat{X} ，并求得固定的 $T(\hat{X})$ 。

WSH算法

输入：工时矩阵 A 。

- (0) 初始化排序指标 $\lambda_j, j = 1, 2, \dots, n$ 。
- (1) 计算 $\lambda_j = \frac{\sum_{i=1}^m i \cdot a_{ij}}{\sum_{i=1}^m a_{ij}}$ 。
- (2) 按 λ_j 非增的顺序排列所有零件，得到近似解顺序 \hat{X} 。

输出：近似解顺序 \hat{X} 。

最后完整地给出解决同顺序 $M \times N$ 排序问题的结合动态规划的分支定界算法：

Branch&Bound算法

输入： $m \times n$ 工时矩阵 A ，部分序列 S 。

- (0) 启发式最优上界 $upper := \mathbf{WSH}(A)$ ，叶节点顺序集合 $Leaf := \phi$ 。
- (1) $X := N \setminus S$ ， N 为全体零件集。
- (2) $\bar{X}_i := X \setminus \{x_i\}, \bar{S}_i := Sx_i, \forall x_i \in X$ 。
- (3) $X_i^* := \mathbf{Johnson}(A[m-1:m, \bar{X}_i]), \forall i \in I(X)$ 。
- (4) 估计下界 $lower_i := \mathbf{Bound}(A, X_i^*, \bar{S}_i), \forall i \in I(X)$ 。
- (5) 如果 $lower_i \leq upper, \forall x_i \in X$ ，则如果 $|\bar{X}_i| == 1, Leaf := Leaf \cup \{\bar{S}_i \bar{X}_i\}$ ，如果 $|\bar{X}_i| > 1$ ，令 $S := \bar{S}_i$ ，返回步骤(1)。
- (6) 令 $X^* = \arg \min_{X \in Leaf} \mathbf{Sum Time}(A, X), T(X^*) = \mathbf{Sum Time}(A, X^*)$ 。

输出：最优加工顺序 X^* ，最优总工时 $T(X^*)$ 。

三、数据集（案例）说明

（一） $m = 2$ 的测试数据集

1. A_1 ($m = 2 \quad n = 5$)

	J_1	J_2	J_3	J_4	J_5
M_1	3	7	4	5	7
M_2	6	2	7	3	4

该数据集最优总工时为28，最优加工顺序为 J_1, J_3, J_5, J_4, J_2 。

2. A_2 ($m = 2$ $n = 5$)

	J_1	J_2	J_3	J_4	J_5
M_1	2	4	3	6	1
M_2	5	2	3	1	7

该数据集最优总工时为19，最优加工顺序为 J_5, J_1, J_3, J_2, J_4 。

(二) $m \geq 3$ 的测试数据集

1. A_3 ($m = 3$ $n = 6$)

	J_1	J_2	J_3	J_4	J_5	J_6
M_1	6	12	4	3	6	2
M_2	7	2	6	11	8	14
M_3	3	3	8	7	10	12

该数据集来自文献[6]，该作者使用分支定界法得到最优总工时为57。根据命题3的条件将零件排序，记 $J_i < J_j$ 表示 J_i 应在 J_j 之前，则有

$$\begin{aligned} J_3 < J_5, J_6 < J_4, J_6 < J_1, \\ J_5 < J_1, J_4 < J_1, J_3 < J_1. \end{aligned}$$

则初步排序为 J_3, J_5, J_6, J_4, J_1 或 J_6, J_4, J_3, J_5, J_1 。若将 J_2 放在最后则有 $J_3, J_5, J_6, J_4, J_1, J_2$ 和 $J_6, J_4, J_3, J_5, J_1, J_2$ ，并且前一序列为最优加工顺序。

2. A_4 ($m = 3$ $n = 5$)

	J_1	J_2	J_3	J_4	J_5
M_1	6	4	5	9	3
M_2	8	1	5	5	9
M_3	2	1	6	8	5

该数据集来自文献[7]，该作者使用基于Gupta启发式算法的分支定界法得到最优总工时为34，最优加工顺序为 J_5, J_3, J_4, J_1, J_2 。

3. A_5 ($m = 3$ $n = 4$)

	J_1	J_2	J_3	J_4
M_1	13	7	26	2
M_2	3	12	9	6
M_3	12	16	7	1

该数据集来自文献[11]，该作者使用分支定界法得到最优总工时为62。根据命题3的条件将零件排序，则有

$$J_2 < J_3.$$

若将 J_4 放在最后则有 J_1, J_2, J_3, J_4 和 J_2, J_3, J_1, J_4 ，并且后一序列为最优加工顺序。

4. A_6 ($m = 3$ $n = 6$)

	J_1	J_2	J_3	J_4	J_5	J_6
M_1	1	8	11	3	5	12
M_2	8	5	2	9	5	7
M_3	4	10	7	2	4	7

该数据集来自文献[10]，该作者使用一种启发式的算法得到近似最优总工时为54。文献[3]使用消去法重新计算得到最优总工时为49，最优加工顺序为 $J_1, J_2, J_4, J_6, J_5, J_3$ 。

5. A_7 ($m = 3$ $n = 10$)

	J_1	J_2	J_3	J_4	J_5	J_6	J_7	J_8	J_9	J_{10}
M_1	1	5	7	8	3	7	9	8	6	3
M_2	2	9	6	9	2	10	7	9	1	1
M_3	9	7	8	9	3	4	7	4	3	1

该数据集来自文献[11]，该作者认为是3个机器10个零件的加工顺序中最难的问题。最优总工时为66，最优加工顺序为 $J_1, J_2, J_3, J_4, J_5, J_6, J_7, J_8, J_9, J_{10}$ 。

四、程序输入输出说明

(一) 输入

以数据集 A_1 为例：

	J_1	J_2	J_3	J_4	J_5
M_1	3	7	4	5	7
M_2	6	2	7	3	4

1. 输入零件的个数和机器的个数，以空格隔开，回车结束，如

5 2

2. 输入工时矩阵A，按机器的顺序（行序）输入。每行中各元素以空格隔开，每行以回车结束，如

3 7 4 5 7
6 2 7 3 4

（二）输出

1. 若输入的机器数为2（ $m = 2$ ），则输出两种算法的最优总工时与最优加工顺序，以数据集A1为例，程序输出：

$m = 2$, 可采用动态规划方法和Johnson算法求解：

【1】动态规划方法最优总工时：28.0

【2】Johnson算法最优总工时：28.0

最优加工顺序：

(1) J1 J3 J5 J4 J2

2. 若输入的机器数大于等于3（ $m \geq 3$ ），则输出结合动态规划的分支定界法的最优总工时与最优加工顺序，以数据集A₃为例，程序输出：

$m \geq 3$, 采用结合动态规划的分支定界法求解：

最优总工时：57.0

最优加工顺序：

(1) J3 J5 J6 J2 J4 J1

(2) J3 J5 J6 J4 J1 J2

(3) J3 J5 J6 J4 J2 J1

五、程序测试结果

（一） $m = 2$ 的测试结果

1. A₁

算法	最优总工时	运行时间
DP	28	3.326ms
Johnson	28	0.045ms

最优加工顺序为J₁, J₃, J₅, J₄, J₂。

2. A₂

算法	最优总工时	运行时间
DP	19	3.306ms
Johnson	19	0.050ms

最优加工顺序为J₅, J₁, J₃, J₂, J₄。

(二) $m \geq 3$ 的测试结果

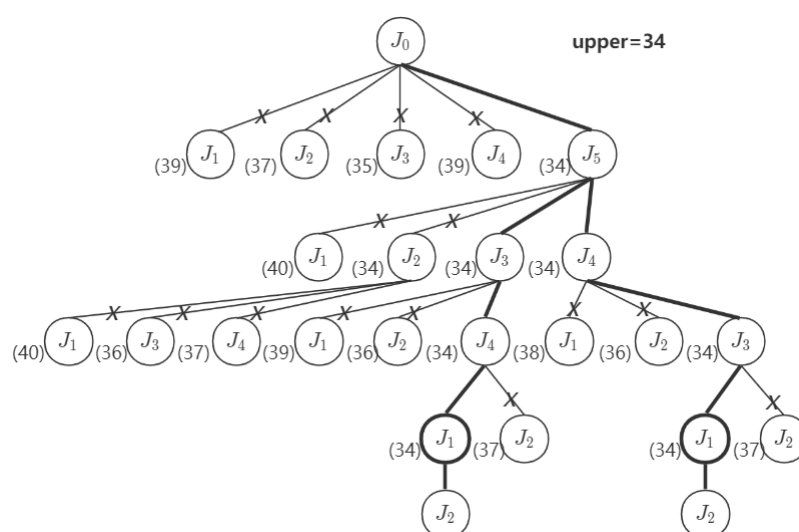
1. A_3

运行时间：53ms，最优总工时57。最优加工顺序：

$$J_3, J_5, J_6, J_2, J_4, J_1 \quad J_3, J_5, J_6, J_4, J_1, J_2 \quad J_3, J_5, J_6, J_4, J_2, J_1$$

2. A_4

使用该例表示测试分支定界法节点生成过程：



运行时间：5.5ms，最优总工时34。最优加工顺序：

$$J_5, J_3, J_4, J_1, J_2 \quad J_5, J_4, J_3, J_1, J_2$$

3. A_5

运行时间：6.5ms，最优总工时62。最优加工顺序：

$$J_2, J_3, J_1, J_4$$

4. A_6

运行时间：54ms，最优总工时49。最优加工顺序：

$$J_1, J_2, J_4, J_6, J_3, J_5 \quad J_1, J_2, J_4, J_6, J_5, J_3$$

5. A_7

运行时间：12.45s，最优总工时66。最优加工顺序：

$J_1, J_2, J_3, J_4, J_5, J_6, J_7, J_8, J_9, J_{10}$	$J_1, J_2, J_3, J_4, J_5, J_6, J_7, J_8, J_{10}, J_9$
$J_1, J_2, J_3, J_4, J_5, J_8, J_7, J_6, J_9, J_{10}$	$J_1, J_2, J_3, J_4, J_5, J_8, J_7, J_6, J_{10}, J_9$
...	
$J_1, J_2, J_8, J_5, J_3, J_4, J_7, J_6, J_9, J_{10}$	$J_1, J_2, J_8, J_5, J_3, J_4, J_7, J_6, J_{10}, J_9$

共140个最优加工顺序。

六、分析总结

$m = 2$ 的情形下，常规的动态规划方法和引入Johnson条件改进后的Johnson算法都能正确的求解该问题，得到最优总工时。但常规的动态规划方法不易存储中间过程，本文没有实现输出最优加工顺序的功能，但Johnson算法可以输出最优加工顺序。并且对常规动态规划方法是指数级的时间复杂度，Johnson算法则是线性的时间复杂度。可见改进后无论是在实现难度还是运行时间上都有了很大的进步。

$m \geq 3$ 的情形下，采用动态规划方程推导出对分支定界法节点下界的估计，并用启发式算法给出最优上界，精确的上下界能极大地提高分支定界法的运行效率，将更多节点进行剪枝。并且该算法除了可以输出最优总工时，还可以输出多个最优加工顺序，在复杂数据集上也有不错的表现。

七、参考文献

- [1] Johnson S M . Optimal two- and three-stage production schedules with setup times included[J]. Naval Research Logistics Quarterly, 1954, 1.
- [2] 林治勋. 同顺序 $M \times N$ 排序问题的动态规划方法[J]. 数学进展, 1986(04):337-346.
- [3] 越民义, 韩继业. n 个零件在 m 台机床上的加工顺序问题(I)[J]. 中国科学, 1975, 5(5):462.
- [4] 越民义, 韩继业. 同顺序 $m \times n$ 排序问题的一个新方法[J]. 科学通报, 1979(18):7-10.
- [5] 越民义, 韩继业. 排序问题中的一些数学问题(续)[J]. 数学的实践与认识, 1976(03):61-72.
- [6] Lomnicki Z A . A "Branch-and-Bound" Algorithm for the Exact Solution of the Three-Machine Scheduling Problem[J]. OR, 1965, 16(1):89-100.
- [7] 谢金华, 叶春明, 马良,等. Flow shop排序问题 $F_m|pmu|C_{max}$ 的改进分枝定界法[J]. 现代制造工程, 2008(3):3.
- [8] 沈英俊. 一种求解同顺序 Flowshop排序问题的新的启发式算法[J]. 北京航空航天大学学报, 1998, 000(001):83.
- [9] 王晓东. 计算机算法设计与分析(第3版)[M]. 电子工业出版社, 2007.:72-75
- [10] Gupta, Jatinder N D . Heuristic Algorithms for Multistage Flowshop Scheduling Problem[J]. A I I E Transactions, 1972, 4(1):11-18.

- [11] Ignall E, Schrage L. Application of the Branch and Bound Technique to Some Flow-Shop Scheduling Problems[J]. *Operations Research*, 1965, 13(3):400-412.